係留施設の性能照査におけるコンテナクレーン の簡易モデル化に関する研究

A SIMPLIFIED 3D MODELING OF CONTAINER CRANES FOR SIESMIC PERFORMANCE ASSESSMENT OF QUAY WALLS

長尾毅¹・吉川慎一²・西尾岳裕²・福永勇介³・ 宮田正史⁴・菅野高弘⁵・竹信正實⁶

Takashi NAGAO, Shinichi YOSHIKAWA, Takahiro NISHIO, Yusuke FUKUNAGA, Masafumi MIYATA, Takahiro SUGANO and Masahiro TAKENOBU

1正会員 工博 国土交通省国土技術政策総合研究所 港湾施設研究室(〒239-0826 横須賀市長瀬3-1-1) 2株式会社ニュージェック 港湾・海岸グループ(〒531-0074 大阪市北区本庄東2-3-20) 3正会員 国土交通省国土技術政策総合研究所 港湾施設研究室(〒239-0826 横須賀市長瀬3-1-1) 4正会員 国土交通省港湾局 技術企画課技術監理室(〒100-8918 東京都千代田区霞ヶ関2-1-3) 5正会員 工博 独立行政法人港湾空港技術研究所 地盤・構造部(〒239-0826 横須賀市長瀬3-1-1) 6正会員 独立行政法人港湾空港技術研究所 地盤・構造部(同上)

It is necessary to assess the seismic performance of container cranes against the level-two earthquake ground motion according to Technical Standards for Port and Harbour Facilities in Japan revised in 2007. Two-dimensional earthquake response analysis is often used for the seismic performance assessment, however, two-dimensional analysis is not precise enough for the reproduction of complicated response of container cranes such as that after an uplift motion of the crane leg. The objective of this study is to establish a simplified three-dimensional crane model that reproduces the crane response with enough preciseness in view of practical design. Applicability of the proposed model is demonstrated by comparing the response of proposed model with that of detailed three-dimensional model.

Key Words: Seismic Performance, Quay Wall, Container Crane, Level-two Earthquake Ground Motion. Seismic Isolation

1. はじめに

平成19年の港湾の施設の技術上の基準1)の改正に 伴い、コンテナクレーンが港湾基準の対象施設に追 加され、コンテナクレーンについても各種性能照査 を行うことが必要となった. コンテナバースの係留 施設のレベル2地震動に対する性能照査では、コン テナクレーンと係留施設の相互作用を考慮するため, 係留施設とコンテナクレーンの双方をモデル化した クレーン一体型の2次元地震応答計算が一般的に行 われる. その際, コンテナクレーンのモデル化につ いては, 固有周期が一致するようにクレーンの複雑 な構造をラーメン構造に簡略化したモデルが採用さ れることが多い. 検討条件によってはクレーンの脚 の浮き上がりが生じる結果となるが、現状の港湾構 造物の耐震性能照査で用いられることの多いFLIP²⁾ などの一体型の解析においては浮き上がり後の挙動 を確認できない.

対策として脚が浮き上がらないように諸元を変更 することも考えられるものの,経済的に有利となら ない可能性が高い.一方,複雑な構造のクレーンの 挙動を正確に再現することを標準とすることは現状では困難を伴う.

以上の背景のもと、本研究では係留施設の設計者 がクレーンの挙動を簡易に評価するためのモデル化 の方法について検討する.

2. 検討条件

(1)入力地震動

図-1 に示す T 港のジャケット式桟橋上の非免震コンテナクレーン及び免震化した場合を想定したクレーンを対象に検討を行った. 一体型の 2 次元地震応答計算を FLIP によって行い, 図-2 に示すクレーン基礎位置の加速度応答 3 成分を算出し, これを入力条件とした. なお, クレーンの脚はジャケット式桟橋の上部工に設置されるレール上に搭載される形式となっており, ジャケット式桟橋の構造部材の諸元は, 対象とする地震動に対して応答が弾性範囲内(各部材が全塑性に至らない)に収まるように設定されているものである.

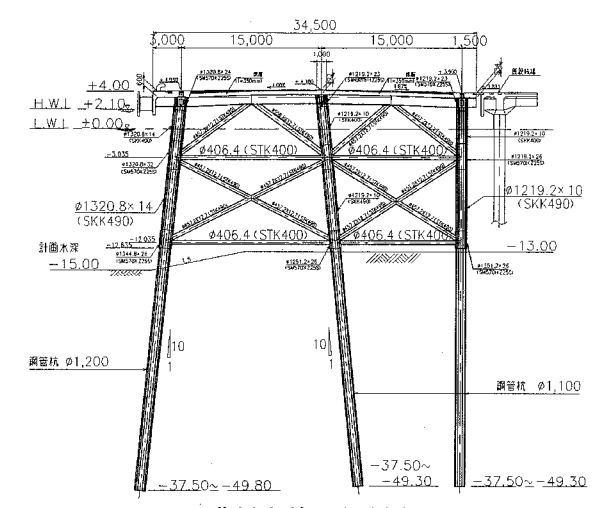
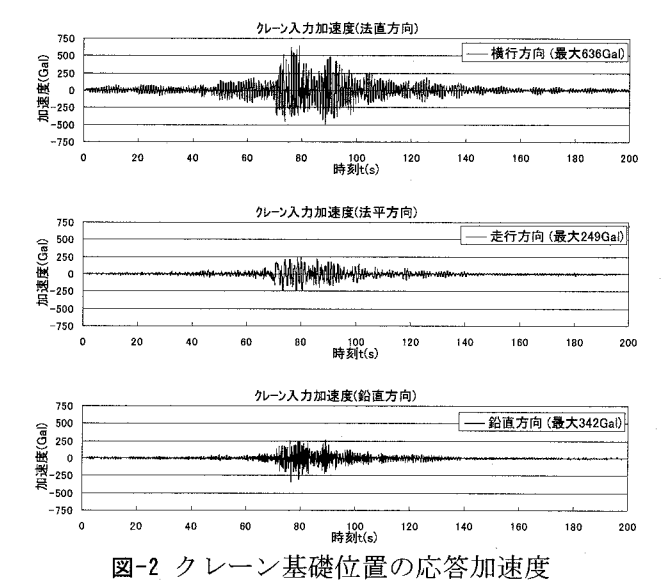


図-1 T港係留施設標準断面図



(2) コンテナクレーンのモデル化

レベル 2 地震動に対するコンテナクレーンの耐震性能照査は、3 次元 FEM 解析を用いた照査が基本となる.これは、平成 7 年兵庫県南部地震以降、免震コンテナクレーンが導入されたが、その導入段階にあたっては、3 次元有限要素法、振動台を開発にあたっては、3 次元有限要素法、振動台を震とにあたっては、3 次元有限要素法によび免震装置にコンデナクレーン模型の加振試験および免震装置にコンデナクレーン模型の加振試験および免震装置に対応を調整がある(例えば管野らの研究 3).しかしながら、上記の兵庫県南部地震以降の各種検討は、各クレーンの兵庫県南部地震以降の各種検討は、各クレーンの兵車県が各社固有の免震装置に対して独自に対応したものであり、一般に係留施設設計者が各種免別とは現状では困難である.

従って本研究では、各クレーンメーカーによる 3 次元 FEM による地震応答解析を行う上での一般的な 検討方法やモデル化の要点、再現性の確認を踏まえ た上で、「詳細モデル」として構築する手法につい て概説し、さらに詳細モデルを踏まえてある一定の 精度で再現性を確保し、係留施設設計者による取り 扱いが容易な「簡易モデル」の構築を図ることとし た.

a) 詳細モデルの構築手順

詳細モデルを構築する標準的な手順を図-3 に示す. また, 各段階において特に留意すべき事項を詳述する. 解析コードは, MSC/NASTRAN を想定した. 本手順に準じ構築した T 港クレーンを対象とした詳細モデルと部材名称を図-4 に示す.

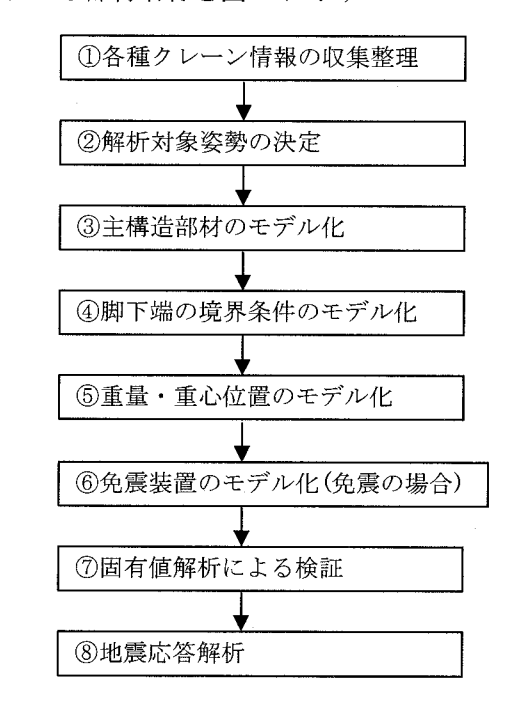


図-3 詳細モデルの構築手順

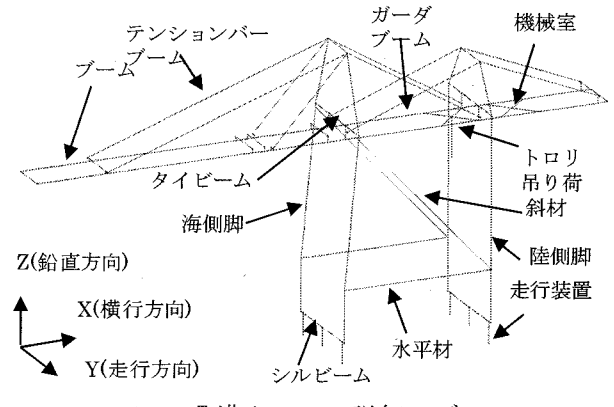


図-4 T港クレーン詳細モデル

①コンテナクレーンの3次元 FEM モデル化に必要な各種情報を以下に示す. なお,モデル化対象のクレーンは,クレーン構造規格 4に準じた部材設計が既になされており,レベル2地震動に対する性能照査段階であることを想定している.

- 1) 主要部材一般構造図
- 2) 部材強度計算書
- 3) 安定度計算書
- 4) 最大輪荷重計算書
- 5) 免震装置設計資料(免震クレーンの場合)

②解析対象姿勢は、クレーンの休止時(ブームアップ)と作業時(ブームダウン)に大別される.作業時を対象とする場合、特に吊り荷・トロリの位置がクレーン全体の重心位置に及ぼす影響が大きいため、適切に設定する必要がある. 吊り荷が最も海側寄りとなるアウトリーチが安全側の評価となる してり、烟震速報を用いて、クレータに地震を確実に伝達することを変勢を解析対象としている。その状態でのクレーン姿勢を解析対象としていては、この考え方を踏まえてトロリを休止時位置まで移動させた状態を想定した.

③主要構造部材のモデル化では、構造部材の断面 諸元をモデル化に反映する. 部材分割数は2次モー ドまでの再現が可能な4分割以上を基本とする.

④脚下端の境界条件は、走行装置のモデル化と拘束条件に留意する.実機クレーンの走行装置の作動状況を反映して、脚下端の6自由度系 (X,Y,Z,θx,θy,θy,θz) の拘束条件を設定する.横行方向は車輪のつばがレールにかかり固定される条件とした.鉛直方向は、脚の浮き上がりを表現するための非線形ばね要素 (NASTRAN 言語で GAP 要素)とし、圧縮側では走行方向にレールと車輪が接地している状態で摩擦力が作用する条件とする.摩擦力を超過する水平力が作用すると、レール面と車輪とのすべりが表現される.引張側は解析安定性に配慮し、クレーン構造部材より十分小さい軸剛性(1/1000 倍程度)のばねとする.なお、本モデルによる地震動の入力は、脚下端より連結した大質量点に時刻歴加速度を与える方法とした.

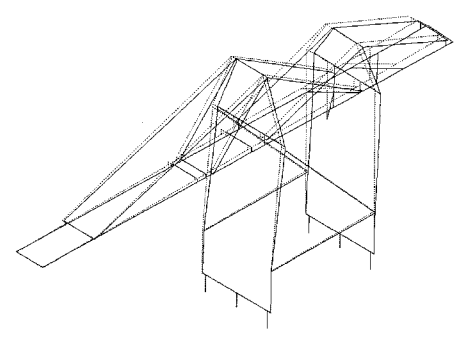
⑤重量・重心位置の設定は、脚の浮き上がりや固有値に影響が大きいため、主要部材の密度を調整するなどの方法で、設計資料に示される重心位置とモデルとを合致させることが重要である.

⑥既往の免震クレーンの適用事例などを参考に, 実機に適用可能な範囲のスペックで免震装置のバネ 値,減衰係数を設定する.本検討では,水平型免震 装置として各脚走行装置に水平バネ 1000kN/m,減 衰係数 1200kN-s/m を初期設定値とした.

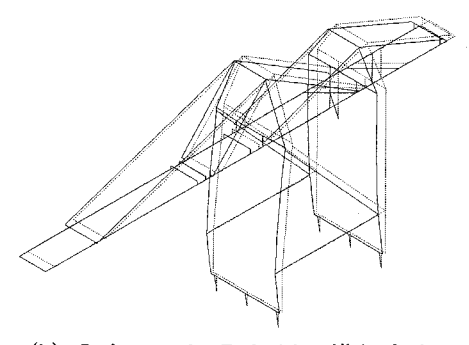
⑦固有値解析では、クレーン全体系の固有モードを確認し、特に長手方向部材であるブームの振動が全体系のモードへ影響が大きいため、主要な低次モードの絞り込みに留意する. なお、検討対象とした T 港クレーンは、既往の研究 50 より、実機クレーンにおけるポータブル地震計を用いた微動・振動計測、強震観測記録、3次元 FEM モデルによる固有値解析による再現との比較より、モデルの妥当性が確認されている. なお、当研究では実機コンテナクレーン(非免震)の減衰率として 3%程度である点も確認されたため、解析モデルも同様としている.

本検討の代表的な固有値解析結果として、非免震

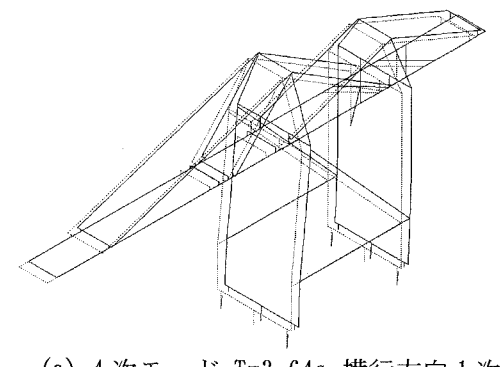
クレーンの低次モード図を図-5 に,免震装置を導入した場合の低次モード図を図-6 に示す.免震装置の効果で横行方向が大幅に長周期化されている状況がわかる.ここで,1次,2次は吊り荷が横行・走行方向に揺れるローカルモード,3次はブーム先端が走行方向に揺れるローカルモードであり,クレーン全体の挙動に有意ではないと判断した.



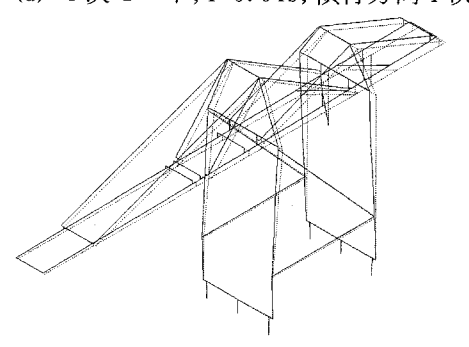
(a) 4 次モード, T=2.70s, 走行方向1次



(b) 5 次モード, T=2.06s, 横行方向 1 次 図-5 詳細モデル(非免震) 固有値解析結果



(a) 4次モード, T=3.64s, 横行方向1次



(b) 5 次モード, T=2.76s, 走行方向 1 次 図-6 詳細モデル(免震) 固有値解析結果

b) 簡易モデルの構築手順

前述の詳細モデルの構築手順を踏まえた上で,簡 略的な3次元モデルを作成するための手法を示す.

前項③主要部材のモデル化について,以下の点に 留意して簡略化が可能である.

クレーン全体の剛度に影響が大きい脚部材,水平材,シルビーム,タイビーム,斜材,ブーム,ガータを主要部材とし、それ以外を2次部材として集中質量に変換する.なお,部材の断面諸元は,実機クレーンでは合理化の観点から部材端部・中央部で板厚などを変化させるが(詳細モデルではこれを反映),断面積,断面二次モーメントを1本の部材内で部材長に対し平均化した代表値でモデル化してもクレーン全体の挙動には大きい影響はないことを確認した.

また,ブーム・ガーダは吊り上げ・吊り下ろしを 行うカンチレバー部材であり,鉛直方向の剛性は高 いが,走行方向の荷重に対して弱軸方向となる.こ のためテンションバーなど2次部材で補強されてい る.詳細モデルでのブームの走行方向への荷重・変 位関係の検証より,概ねブームの走行方向曲げ剛性 の10倍程度を入力値とすれば,極端にブームが走 行方向に揺れるモードは生じず,詳細モデルに近い 挙動となる点を確認した.

前述④脚下端の境界条件として、鉛直方向の非線形ばねを詳細モデルと同様にモデル化した。走行方向へのレール面でのすべりは、レール面と車輪との摩擦係数(=0.075)×クレーン死荷重分までの水平力が作用するまでは剛なばね(剛性勾配は変位1mmと設定)、それ以上の水平力では剛性ゼロとなる非線形ばねを与えた。

前述⑤にならい,モデルの全体重量と重心位置が 実機クレーンと同等となるよう,モデル化した部材 の密度等で調整した.

このような方法で簡易的に作成した T 港クレーンを対象とした 3 次元 FEM モデルを図-7 に示す.また,非免震クレーンの固有値解析結果を図-8 に,免震クレーンの固有値解析結果を図-9 に示す.簡易モデルでは吊り荷を下げるロープはモデル化していないため,詳細モデルの 1 次, 2 次のローカルモードに相当するモードは生じず,1 次でブーム先端が走行方向に揺れるローカルモードが生じた.

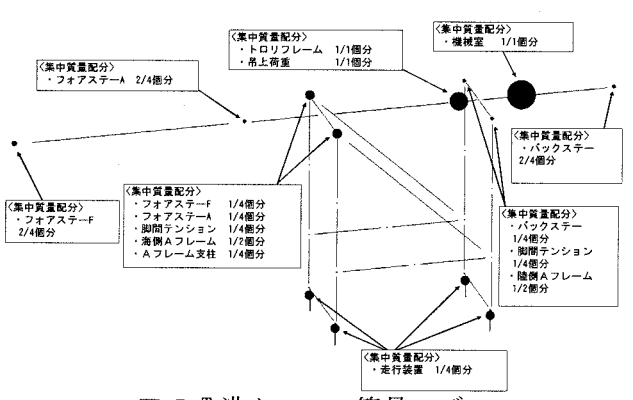
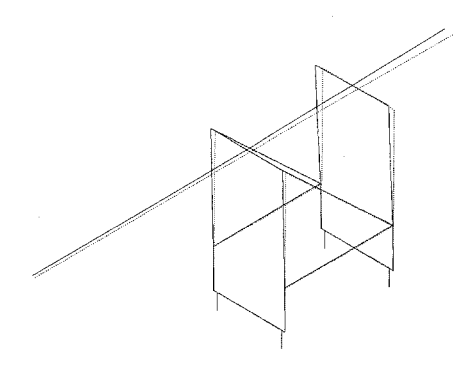
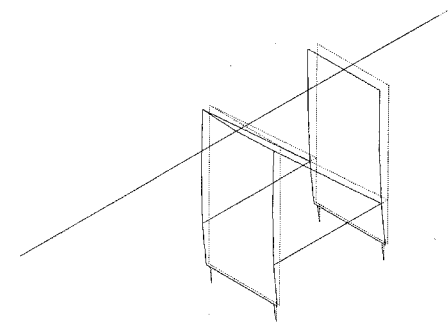


図-7 T港クレーン簡易モデル

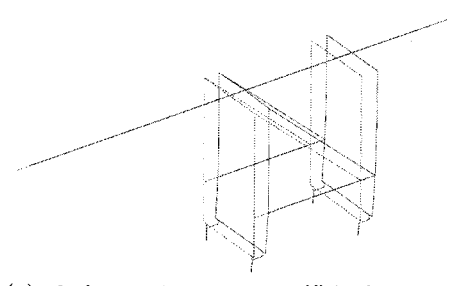
従って、詳細モデルとは相当する次数が異なっている点に留意されたい. 詳細モデルと比較し固有値に若干のずれはあるが、クレーン全体の振動モードとしては一定の精度で再現可能と判断した.



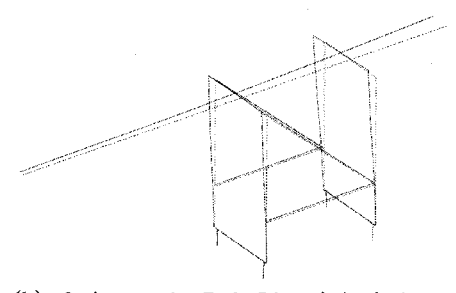
(a) 2次モード, T=2.39s, 走行方向1次



(b) 3 次モード, T=2.19s, 横行方向 1 次 図-8 簡易モデル(非免震) 固有値解析結果



(a) 2次モード, T=3.91s, 横行方向1次



(b) 3 次モード, T=2.58s, 走行方向 1 次 図-9 簡易モデル(免震) 固有値解析結果

(3)性能規定値の設定

コンテナクレーンの耐震性能を照査するための性能既定値の設定例を \mathbf{z} -1 に示す. 各性能規定値の考え方を以下に示す.

脚の浮き上がり量許容限度は、車輪のつばの高さ

である 25mm 以内とした.

脚下端の反力は,係留施設の設計条件として隣接する施設のクレーンの実績などより設定された値であり,原則としてこれを超えてはならない.

主要部材の応力限界値は,クレーン構造規格に準 じた照査方法とするが,許容値は降伏強度を基本と した.

免震装置に関する規定は、使用する免震装置のスペックに応じて決定することとなるが、ここでは既往実績のある免震装置のスペックを目標とした.

表-1 クレーンの性能規定値の設定例

	12112//2/212				
照査項目	性能規定値				
脚の浮上り	25mm(車輪のつばの高さ)				
脚下端の反力	・海側脚:				
(8輪/脚)	鉛直975kN/輪→7800kN/脚				
	水平109kN/輪→872kN/脚				
	・陸側脚:				
	鉛直693kN/輪→5544kN/脚				
	水平74kN/輪→592kN/脚				
主要構造部材の応	・軸力・曲げ・せん断作用に対する				
力	鋼部材の発生応力が降伏応力以内				
	(曲げ引張 σ _{ta} =363N/mm²,				
	曲げ圧縮σ _{ca} =313N/mm²)				
免震装置(水平型)	・免震装置の水平変位量				
	許容ストローク±30cm				

3. 詳細モデルと簡易モデルによる応答の比 較

詳細モデルと簡易モデルの各種物理量の時刻歴を図-10 (非免震クレーン),図-11 (免震クレーン)に描き、併せてそれらの最大応答値をまとめて表-2に示す.表-2におけるカッコ内の数値は、詳細モデルの値を1.00としたときの簡易モデルの値を示している.

(1) 非免震コンテナクレーン

両者のモデルで、重心位置変位量や部材応力についてはほぼ同等程度と考えられるが、脚下端の浮き上がり量、脚下端反力は大きく異なる値となった。簡易モデルの方が、ロッキング挙動により一旦脚が浮き上がると、着地した瞬間に剛性が高い支点部の圧縮ばねの影響で大きい反力が生じているもとがあったが脚下端反力も比較的な値にとどまっている。本ケースの場合、詳細に近とな値にとどまっている。本ケースの場合、詳細に近とな値にとどまっている。本ケースの場合、詳細に近いものの、表-1 に示した性能規定値の範囲内にとどまっている。このため詳細モデルと簡易モデルでは判定が大きく異なる結果となる。

従って、本モデルにおいては脚の浮き上がりが生 じるような非線形的な挙動が強くなる状況において は、詳細モデルによる検証が望ましい.

(2)免震コンテナクレーン

表-2 非免震・免震クレーンの最大応答値の比較

	70/12	70/20		スノマルロ・ロール	3 - 10 100
		非免震		免震	
		詳細	簡易	詳細	簡易
重心位置 応答加速度		4.94	6.93	2.74	3.42
m/s ²		(1.00)	(1.40)	(1.00)	(1.25)
重心位置 応答変位		0.460	0.464	0.276	0.293
m		(1.00)	(1.01)	(1,00)	(1.06)
脚浮上り		0.004	0.048	0.000	0.000
m		(1.00)	(12.00)	(1.00)	(1.00)
脚下端 鉛直反力 kN		5377	19794	4339	5739
		(1.00)	(3.68)	(1.00)	(1.32)
水平材 曲げ応力 N/mm²	引張	362 (1.00)	366 (1.01)	223 (1.00)	227 (1.02)
	圧縮	260 (1.00)	351 (1.35)	126 (1.00)	159 (1.26)
免震装置変位 m		-	_	0.109	0.108
		(-)	(-)	(1.00)	(0.99)

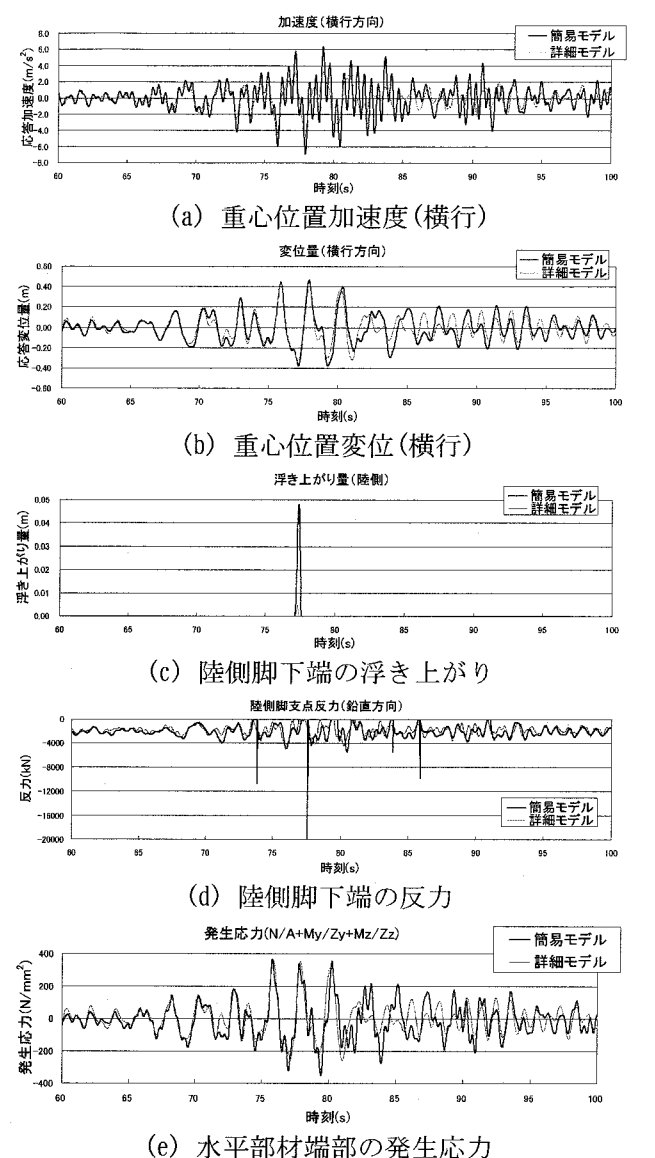
両者のモデルとも免震装置の効果で脚の浮き上がりは生じず、加速度が低減されている。重心位置変位量、免震装置変位や部材応力についてはほぼ同等程度と考えられる。脚下端反力は簡易モデルがやや大きいが、非免震クレーンの挙動に比べると両者の差は小さい

従って、本モデルにおいては脚の浮き上がりが生 じない範囲の挙動では、簡易モデルでもある一定の 精度での性能照査は可能と考えられる.

4. コンテナクレーンのモデル化手法の提案

前項までの検討結果を踏まえ、コンテナクレーン のモデル化手法として、例えば以下のような手順が 考えられる.

- ① 係留施設の 2 次元動的解析 (クレーンは簡易 ラーメンにてモデル化) より, クレーン重心位 置での応答加速度から, 静的な転倒の照査を行い, クレーン脚の浮き上がりが生じるレベルの 応答か否かを判断する.
- ② 脚の浮き上がりが懸念される場合, 簡易 3 次元 FEM モデルにてクレーンの応答解析を行い, 部 材応力や浮き上がりについて照査する.
- ③ 脚の浮き上がりが性能規定値を超過する場合, 詳細 3 次元 FEM モデルにてクレーンの応答解析 を実施する. なお,性能規定値を超過する割合 が大きい場合は,当初より免震化を検討条件に 含めるのが手戻りが少ない場合があると考えら れる.
- ④ ②, ③において免震クレーンでも性能規定値を 満足しない場合,以下のような対策を検討する.
- 1) 免震装置のスペックを増強する, 走行装置を大型化するなど, 現実的に製作が可能な範囲内で性能規定値を満足する諸元を検討する.
- 2) 係留施設の設計への反映が可能な場合,クレーンの応答解析より得られた反力値に対して係留



(e) 水平部材端部の発生応力 図-10 非免震クレーンの応答値比較

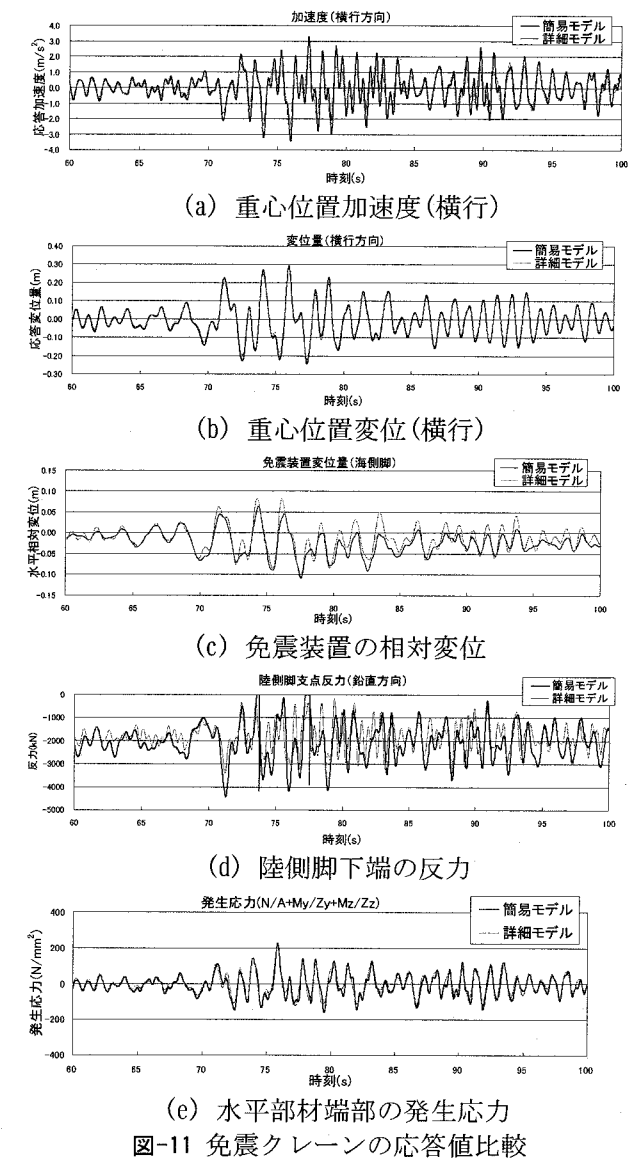
施設の部材耐力が限界値以内に収まるよう,部 材の補強を検討する.特に軸力の影響が大きい 桟橋形式の場合は留意が必要である.

以上のような手順を係留施設の基本設計・細部設計段階に含めることで,係留施設とコンテナクレーン双方の耐震性能の確保が可能になると考えられる.

5. まとめ

本研究では、耐震強化施設上に配備されるコンテナクレーンを対象として、係留施設設計者側にも取り扱いが可能なクレーンの耐震性能照査の一手法について提案した.

本研究による主要な結論は以下の通りである.
①本研究で提案した簡易モデルは、脚の浮き上がりが生じるケースでは浮き上がり量、脚下端鉛直反力に関して詳細モデルとの乖離が大きかった.一方、脚の浮き上がりが生じないケースでは概ね詳細モデルと整合する結果が得られ、簡易モデルでもある一定の精度での性能照査は可能と考えられる.



②コンテナクレーンのモデル化手法について,設計 実務への適用の観点から手順を提案した.

今後は、検討ケース数を増やして適用性を確認する必要があると考えられる.

参考文献

- 1)国土交通省港湾局監修, (社)日本港湾協会:港湾の施設の技術上の基準・同解説, 2007
- Iai, S., Matsunaga, Y. and Kameoka, T.: Strain Space Plasticity Model for Cyclic Mobility, Report of The Port and Harbour Research Institute, Vol.29, No.4, pp.27-56, 1990.
- 3) 菅野高弘・芝草隆博・藤原潔・徳永耕一・槙本洋二・藤木友幸:コンテナクレーンの耐震性の向上に関する研究-免震コンテナクレーンの開発-,港湾空港技術研究所報告, Vol.42, No.2, 2003.6.
- 4) 厚生労働省労働基準局安全衛生部安全課編:クレーン 等構造規格の解説(改訂 3 版),(社)日本クレーン協会,平成9年6月.
- 5) 宮田正史・竹信正寛・野津厚・菅野高弘・小濱英司・ 久保哲也:耐震強化施設としてのコンテナクレーンの 耐震性能照査手法に関する研究(その 2), 国総研資 料, No.515, 2009.5.